

Министерство науки и высшего образования Российской Федерации

Федеральное государственное автономное образовательное  
учреждение высшего образования  
Национальный исследовательский Нижегородский государственный  
университет им. Н.И. Лобачевского

Институт информационных технологий, математики и механики  
Кафедра математического обеспечения и суперкомпьютерных  
технологий

Направление подготовки: «Прикладная математика и информатика»

## **ОТЧЕТ**

по производственной практике  
«Научно-исследовательская работа»

### **Программная реализация параллельного алгоритма k-truss разложения графа**

**Выполнила:**

студентка группы 382003\_3

\_\_\_\_\_Семенова В.А.

**Проверил:**

к.н.т., доцент

\_\_\_\_\_Мееров И.Б.

Нижний Новгород

## Оглавление

|  |    |
|--|----|
| Введение.....  | 3  |
| 1. Понятие k-truss разложения .....                          | 4  |
| 2. Последовательный алгоритм.....                            | 6  |
| 2.1. Основной алгоритм вычисления k-truss .....              | 6  |
| 2.2. Модификация алгоритма Коэна Х. Кабир и К. Маддури. .... | 8  |
| 2.3. Подсчет поддержки пересечением .....                    | 9  |
| 2.4. Подсчет поддержки маркировкой.....                      | 10 |
| 3. Параллельный алгоритм .....                               | 11 |
| 4. Программная реализация.....                               | 14 |
| 4.1. Структуры данных.....                                   | 14 |
| 4.2. Модульная структура программы.....                      | 15 |
| 5. Результаты экспериментов .....                            | 18 |
| 5.1. Последовательные алгоритмы.....                         | 18 |
| 5.2. Параллельные алгоритмы .....                            | 21 |
| Заключение .....   | 26 |

## Введение

Графы распространены повсеместно. Любой набор взаимодействующих объектов может быть представлен в виде графа, где объекты являются вершинами, а взаимодействия – ребрами. Такое представление данных в виде графа используется во многих прикладных областях, например: биологические и транспортные системы, графы социальных сетей и многие др. Масштаб данных, используемых в графовой аналитике, растет беспрецедентными темпами, более чем когда-либо экспертам из разных предметных областей требуются эффективные и параллельные алгоритмы. Разработке таких реализаций для высокопроизводительных систем уделяется большое внимание в научном и техническом сообществе. Учитываются особенности обработки больших объемов таких данных: ограниченный параллелизм задач из-за работы с памятью, низкая арифметическая интенсивность, зависимость по данным между итерациями.

Чтобы понять структуру графа, часто бывает полезно найти плотно связанные наборы вершин и ребер или подграфы в графе. Существует несколько известных задач на нахождение связанных подграфов, однако, поскольку большинство из них NP-полные, точное решение требует больших вычислительных ресурсов для графов больших порядков.

Один из методов нахождения связанных подграфов – найти  $k$ -truss разложение графа.  $K$ -truss представляет собой иерархическую декомпозицию ребер графа и тесно связан с задачей перечисления треугольников. Такая формулировка связанных подграфов полезна на практике, потому что  $k$ -truss может быть точно вычислен с использованием простых алгоритмов за полиномиальное время. В частности,  $k$ -truss — это мощный инструмент для определения структуры сообществ в графе, который может обеспечить понимание во время анализа графов. Способность эффективно вычислять декомпозицию  $k$ -truss имеет важное значение, поскольку на практике графы становятся все более большими и разреженными.

Целью работы является программная реализация и экспериментальное исследование последовательных алгоритмов Х. Кабир и К. Маддурри для вычисления разложения  $k$ -truss графа.

## 1. Понятие k-truss разложения

K-truss в графе определяется как максимальный нетривиальный однокомпонентный подграф такой, что каждое ребро в подмножестве опирается по крайней мере на  $k-2$  других ребра, которые образуют треугольники с этим конкретным ребром. Другими словами, каждое ребро k-truss должно быть частью  $k-2$  треугольников, состоящих из узлов, которые являются частью k-truss.

Например, на следующем рисунке показано два k-truss третьего порядка. По определению, 3-truss – это треугольники графа (Рисунок 1. K\_truss третьего порядка).

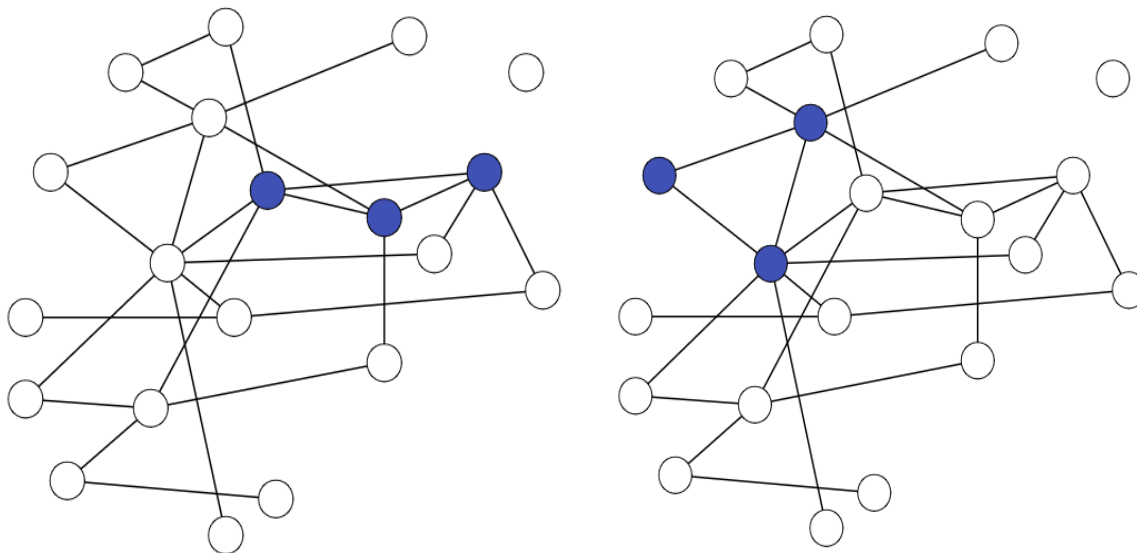


Рисунок 1. K\_truss третьего порядка

Аналогично, на следующем рисунке (Рисунок 2) вы можете увидеть 4-truss — это набор таких ребер, что каждое ребро является частью двух треугольников, составленных из узлов truss.

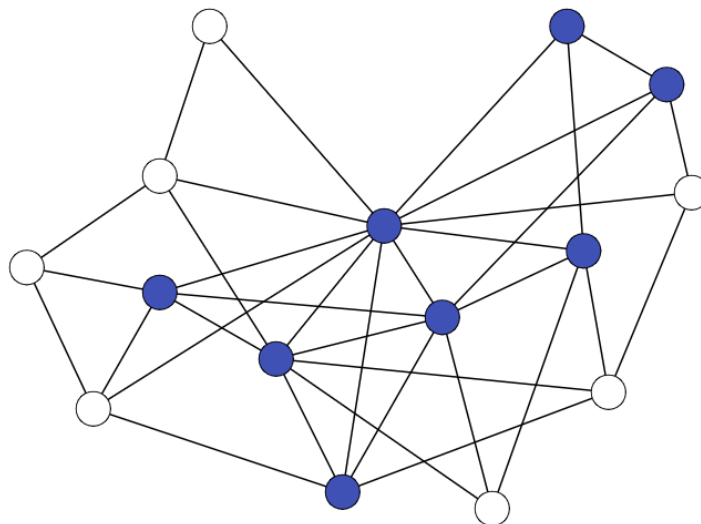


Рисунок 2. K\_truss четвертого порядка

K-truss считается максимальным, когда не является подграфом другого k-truss: ребро принадлежит k-truss, если оно принадлежит k-truss графа, но не  $(k-1)$ -truss.

Так же для вычисления k-truss будет необходим подсчет *поддержки* для каждого ребра графа. Введем определение поддержки, согласно [1].

Пусть  $G = (V; E)$  - неориентированный и невзвешенный граф с одной связной компонентой,  $V$  обозначает множество вершин, а  $E$  – множество ребер графа. Число вершин и ребер обозначим

как  $n = |V|$  и  $m = |E|$ . Поддержка  $S(e, G)$  ребра  $e = (u; v) \in G$  – количество треугольников, в которых оно содержится.

K-truss в таком случае будет определяться следующим образом: k-truss  $T_k$  ( $k > 2$ ) является максимальным связным подграфом  $G$  таким, что для каждого ребра  $e$  из этого подграфа  $S(e, T_k) > k - 2$ .

На следующем рисунке (Рисунок 3) приведен пример подсчета поддержки для ребер неориентированного графа  $G$ .

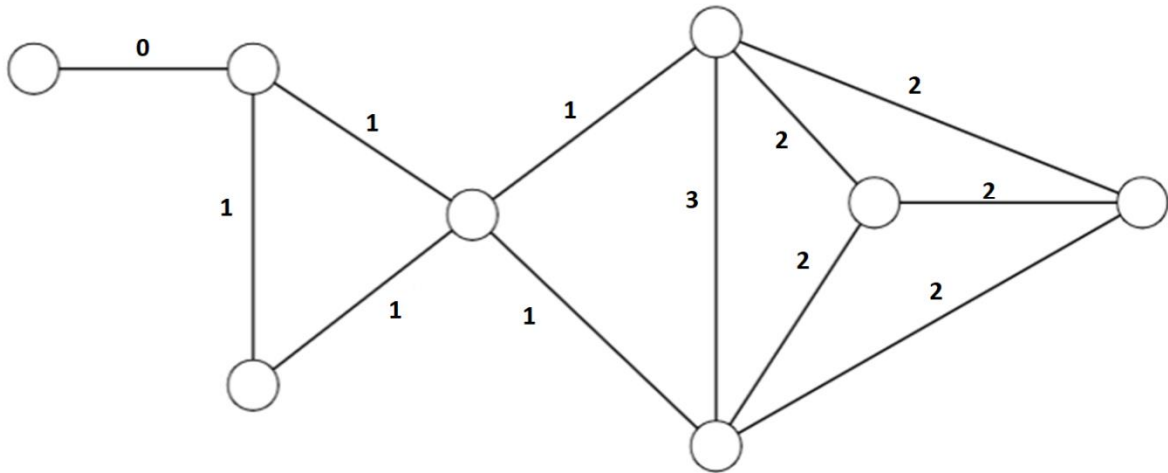


Рисунок 3. Пример подсчета поддержки для графа с 8 вершинами и 12 ребрами

Далее (Рисунок 4) представлено разложение k-truss на основе проведенных расчётов.

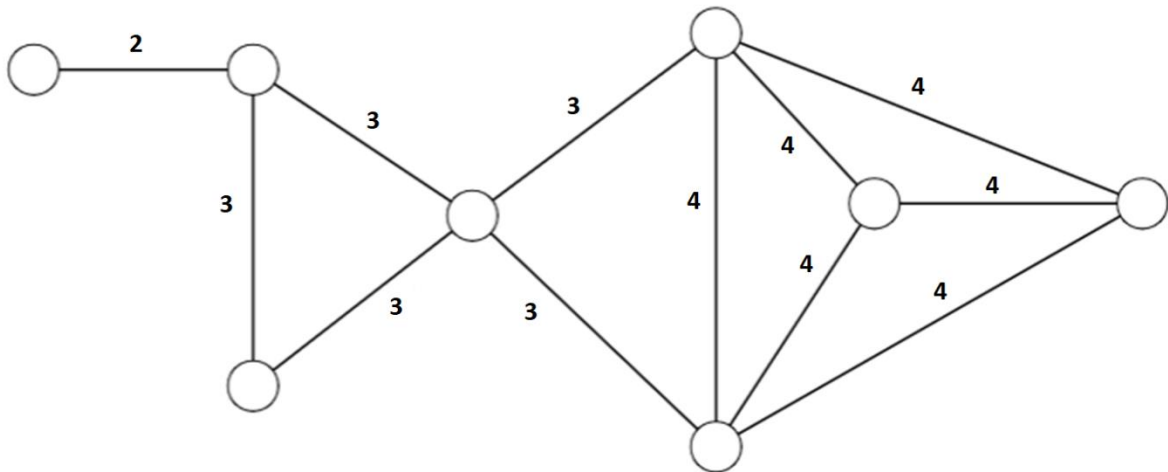


Рисунок 4. Разложение графа по уровням k-truss

Одним из основных алгоритмов для разложения k-truss является алгоритм Коэна Дж. [5] для нахождения максимального k-truss на основе обхода снизу вверх. В 2012 Ван и Ченг [6] представили усовершенствование алгоритма Коэна: ребра сортируются в порядке возрастания их поддержки с использованием линейной сортировки, затем обрабатываются в порядке возрастания поддержки. В работе рассмотрена модификация алгоритма Х. Кабир и К. Маддури на основе подсчета треугольников, так как вычисление поддержки ребер тесно связано с проблемами точного подсчета треугольников и [1, 2].

## 2. Последовательный алгоритм

### 2.1. Основной алгоритм вычисления k-truss

Большинство алгоритмов для вычисления разложения k-truss основаны на концепции отсечения: на каждом этапе удаляются ребра со значением меньше k из графа, затем инцидентность ребер обновляется. Далее приведен алгоритм, предложенный Джонатаном Коэна вместе с определением понятия k-truss.

Алгоритм 1:

**K\_TRUSS(G, k):**

1. **until** no change **do**
2.   **for** each edge  $e = (a,b)$  in G:
3.     **if** (size of  $CROSS(NEIGHBOUR(a), NEIGHBOUR(b)) < k - 2$ :
4.       remove e from g
5. **return** связанные компоненты оставшегося графика

В приведенном выше алгоритме G это граф и k это порядок k-truss, функция NEIGHBOUR(a) возвращает соседние вершины для вершины a, функция CROSS(s1, s2) находит пересечение двух наборов s1 и s2.

Идея, лежащая в основе алгоритма, состоит в том, чтобы уменьшить граф так, чтобы в конечном итоге связанные компоненты графа были максимальными k-truss.

Рассмотрим данный алгоритм на приведенном ранее графе, состоящим из восьми вершин и 12 неориентированных ребер, в качестве структуры хранения используется список смежности.

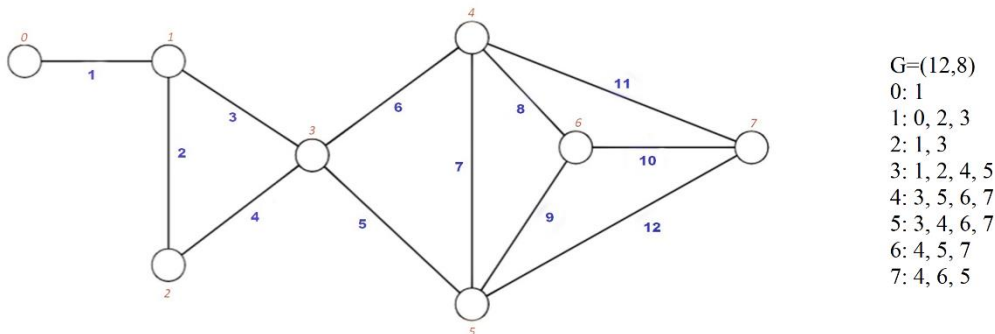


Рисунок 5. Исходный граф для вычисления k-truss

При  $k=3$  из графа будет удалено ребро 1-(0,1), т.к.  $|(1: 0, 2, 3) \cup (0: 1)| = 0 < k - 2 = 1$ . Следовательно удаленное ребро будет принадлежать  $(k-1)$ -truss;

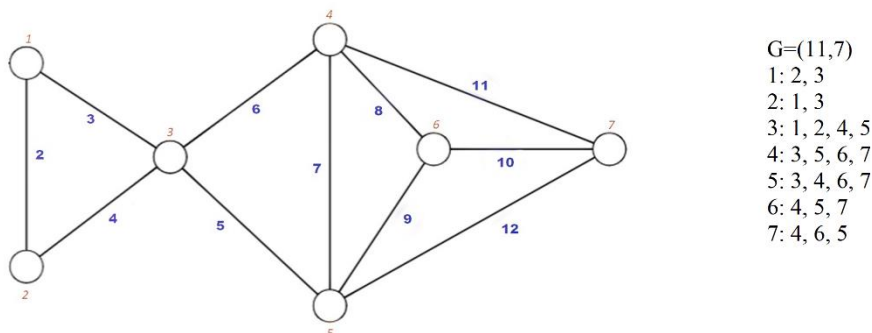


Рисунок 6. Граф для вычисления k-truss при  $k=3$

При  $k=4$ , из графа будет удалено ребро 2-(1,2), 3-(1,3), 4-(2,3), 5-(3,5), 6-(3,4) так как

$$|(1: 2, 3) \cup (2: 1, 3)| = 1 < k - 2 = 2;$$

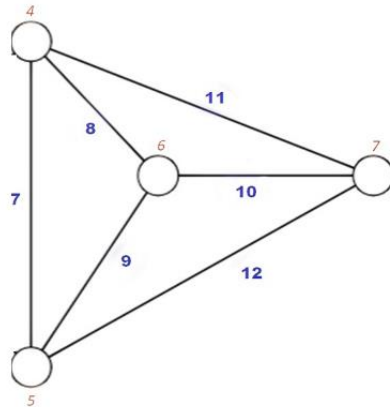
$$|(1: 2, 3) \cup (3: 1, 2, 4, 5)| = 1;$$

$$|(3: 1, 2, 4, 5) \cup (5: 3, 4, 6, 7)| = 1;$$

$$|(2: 1, 3) \cup (3: 1, 2, 4, 5)| = 1;$$

$$|(3: 1, 2, 4, 5) \cup (4: 3, 5, 6, 7)| = 1;$$

Все удаленный ребра на данной итерации составляют 3-truss;



$$G=(7,4)$$

$$4: 5, 6, 7$$

$$5: 4, 6, 7$$

$$6: 4, 5, 7$$

$$7: 4, 6, 5$$

Рисунок 7. Граф для вычисления k-truss при k=4

При k=5 из графа будут удалены все оставшиеся ребра, соответственно максимальный k-truss будет иметь порядок 4 и состоять из ребер 7-(4,5), 8-(4,6), 9-(5,6), 10-(6,7), 11-(4,7) и 12-(5,7). После этой итерации граф остается пустым, алгоритм поиска максимального k-truss в графе завершен.

Полученный алгоритм эффективен в вычислительном отношении, но его сложно распараллелить из-за неструктурированного характера вычислений и динамической природы графа. Алгоритм не предназначен для высокопроизводительных вычислительных систем, поскольку не учитывает детали реализации, которые имеют решающее значение для достижения высокой пропускной способности на современных архитектурах.

## 2.2. Модификация алгоритма Коэна Х. Кабир и К. Маддури.

В данной работе для разложения  $k\_truss$  будет использоваться более эффективный алгоритм, в котором вычисляется поддержка для каждого ребра графа. Ключевой идеей этого подхода является подсчет треугольников в графе. Для вычисления числа треугольников разработан ряд алгоритмов, что предоставляет возможность сравнить несколько разных реализаций, которые могут подойти для параллельных вычислений на высокопроизводительных системах.

В основе реализации будет лежать следующий алгоритм (алгоритм 2).

Алгоритм 2:

**PKT(G, S):**

1. Initialize array S
2. SUPPORT(G, S)
3.  $curr \leftarrow \varnothing$ ;  $next \leftarrow \varnothing$ ;
4.  $flag \leftarrow \varnothing$ ;
5.  $todo = nE$ ;  $k\_level = 0$
6. **while**  $todo > 0$  **do**
7.     CURR\_INIT(S,  $k\_level$ ,  $curr$ )
8.     **while** ( $curr > 0$ ) **do**
9.          $todo \leftarrow todo - |curr|$
10.     SUBLEVEL( $curr$ , S,  $k\_level$ ,  $next$ ,  $flag$ )
11.      $curr \leftarrow next$
12.      $next \leftarrow \varnothing$
13.  $k\_level++$

В алгоритме PKT значения  $k$ -truss вычисляются восходящим способом: сначала обрабатываются ребра, принадлежащие к классу ( $k$ ), перед обработкой ребер, принадлежащих ( $k + 1$ ) классу. Выходной массив S содержит значения поддержки всех ребер. Алгоритм начинается с параллельного вычисления поддержки ребер и сохраняет поддержку в массиве S. Далее он использует процедуры CURR\_INIT и SSUBLEVEL (алгоритм 3).

Алгоритм 3:

**procedure CURR\_INIT(S,  $k\_level$ ,  $curr$ ):**

1. **for** ( $e = 0$  to  $m - 1$ ) **do**
2.     **if** ( $S[e] = k$ ) **then**
3.          $curr[e] \leftarrow true$

**procedure SUBLEVEL( $curr$ , S,  $k\_level$ ,  $next$ ,  $flag$ ):**

1. **for** ( $e_1 \in curr$ ) **do**
2.      $(u, v) \leftarrow e_1$
3.     **for** ( $j = Es[u]$  to  $Es[u + 1] - 1$ ) **do**
4.          $w \leftarrow N[j]$
5.          $X[w] \leftarrow j + 1$
6.     **for** ( $j = Es[v]$  to  $Es[v + 1] - 1$ ) **do**
7.          $W \leftarrow N[j]$
8.         **if** ( $X[w] = 0$ ) **then**
9.             **continue**
10.          $e_2 \leftarrow eid[j]$
11.          $e_3 \leftarrow eid[X[w] - 1]$
12.         **if** ( $flag[e_2]$  or  $flag[e_3]$ ) **then**
13.             **continue**
14.         **if** ( $S[e_2] > 1$ ) **then**
15.              $S[e_2] = S[e_2] - 1$ ;
16.         **if** ( $S[e_3] > 1$ ) **then**
17.              $S[e_3] = S[e_3] - 1$ ;
18.     **for** ( $j = Es[u]$  to  $Es[u + 1] - 1$ ) **do**



19.  $w \leftarrow N[j]$
20.  $X[w] \leftarrow 0$
21.  $\text{flag}[e_1] \leftarrow \text{true}$

Алгоритм использует функцию CURR\_INIT для сканирования массива S и поиска ребер с поддержкой  $k-2$ . В функции SUBLEVEL рассматриваются найденные ребра, если вершин ребра имеют пересечения списков смежности (то есть образуется треугольник), то поддержку этих ребер следует уменьшить на один, она больше чем  $k-2$ , и если новое значение поддержки равно  $k-2$ , то ребро добавляется в очередь на обработку. После обработки ребра его помечают (удаляют из графа, чтобы не рассматривать их на следующем уровне  $k$ -truss). Это продолжается до тех пор, пока в  $k$ -truss нельзя будет добавить больше ребер. Массивы sup и next используются для отслеживания ребер на текущем уровне.

Если мы обратимся к рассмотренному нами ранее примеру подсчета максимального  $k$ -truss для графа на Рис.5 и так же учтем поддержку для данного графа на Рис.3, то очевидна зависимость между поддержкой ребра и его принадлежность к уровню  $k$ -truss, за исключением ребра 7-(4,5), которое одновременно входит в треугольники, принадлежащие разным уровням. Обработка этого случая происходит, путем добавления ребра в очередь (в массив sup) повторно, после уменьшения поддержки ребра на единицу.

Далее внимание будет сосредоточено на описании подхода к вычислению поддержки.

### 2.3. Подсчет поддержки пересечением

Далее приведен алгоритм подсчета поддержки в симметричном невзвешенном графе методом пересечения множества соседних вершин, представленный Ванг Дж., Ченг Дж[4].

Алгоритм 4:

#### **SUPPORT\_AI(G)**

1.  $X \leftarrow \varphi$
2. **for** all  $e = (u, v) \in E$
3.     **for** all  $w \in N(u)$
4.     **if** ( $w \neq v$ )
5.          $X[w] = e$ ;
6.     **for** all  $w \in N(v)$
7.     **if** ( $w \neq u$ )
8.         **if** ( $X[w] == e$ )
9.              $\text{sup}++$ ;
10.  $S[e] = \text{sup}$ ;

Алгоритм построен следующим образом. Для каждой вершины  $u$  отмечаем соседей  $N(u)$ , используя массив X. Затем мы рассматриваем список смежности  $w \in N(v)$ . Если помечено  $w$ , то вершины  $v - u - w$  образуют треугольник, соответственно увеличиваем поддержку ребра  $e$ . При подсчете треугольников массив X может быть битовым вектором. В качестве оптимизации можно рассматривать разделение вершин на два множеств  $N^+(u)$ , такое, что в него входят все вершины, номер которых больше  $u$ , и  $N^-(u)$  – множество соседних вершин для вершины, с номерами меньше  $u$ . Тогда при выполнении алгоритма 3 первый цикл выполняется по всем вершинам, принадлежащим  $N^+(u)$ , а второй – по всем вершинам, принадлежащим  $N^-(v)$ , что сократит общее число итераций.

## 2.4. Подсчет поддержки маркировкой

Представлен алгоритм подсчета поддержки в симметричном невзвешенном графе методом маркировки удаленных ребер, представленный Коэна Х. Кабир и К. Маддури[1].

Алгоритм 5:

**SUPPORT\_AM(G)**

1.  $X \leftarrow \varnothing$
2.   **for** all  $u \in V$
3.     **for** all  $w \in N^+(u)$
4.        $X[w] = j + 1$ ;
5.     **for** all  $v \in N^-(v)$
6.       **for** all  $w \in N^+(v)$
7.         **if** ( $X[w]$ )
8.            $S(u) ++$ ;
9.            $S(v) ++$ ;
10.           $S(w) ++$ ;
11.     **for** all  $w \in N^+(u)$
12.        $X[w] \leftarrow 0$

Алгоритм подсчета поддержки маркировкой так же основан на подсчете треугольников в графе, и использует разделение множества соседних вершин на  $N^+(u)$  и  $N^-(u)$  для каждой вершины  $u$ .

Ожидается, что реализация алгоритма, основанного на маркировки смежности, окажется быстрее, чем алгоритма, основанного на пересечении, так как алгоритмы подсчета треугольников используют порядок вершин на основе степени и сочетают это с ориентацией ребер. С увеличением порядка вершин каноническое треугольное представление  $v < u < w$  дает малое число операций.

### 3. Параллельный алгоритм

В работе выполнено распараллеливание алгоритма Хабир и Маддури для систем с общей памятью, согласно работе [1].

Параллельный подсчет поддержки ребер графа аналогичен описанному последовательному алгоритму 5 на основе маркировки смежности (алгоритм 6).

Алгоритм 6:

**P\_SUPPORT(G)**

1.  $X \leftarrow \varnothing$
2. **for** all  $u \in V$  **in parallel** **do**
3.     **for** all  $w \in N^+(u)$  **do**
4.          $X[w] = j + 1$ ;
5.     **for** all  $v \in N^-(v)$  **do**
6.         **for** all  $w \in N^+(v)$  **do**
7.             **if** ( $X[w]$ ) **then**
8.                  $S(u)++$ ;
9.                  $S(v)++$ ;
10.                  $S(w)++$ ;
11.     **for** all  $w \in N^+(u)$  **do**
12.          $X[w] \leftarrow 0$

В параллельной реализации алгоритма РКТ основная идея остается прежней. Значения  $k$ -truss вычисляются в порядке возрастания: сначала обрабатываются ребра, принадлежащие к классу  $k$ , затем уже ребра, принадлежащие к классу  $k+1$ , начиная с  $k$  равным 2. На каждой итерации обрабатываются ребра с поддержкой  $k-2$ , до тех пор, пока все ребра в графе не будут отмечены как обработанные (алгоритм 7).

Алгоритм 7:

**PKT(G, S):**

1. Initialize array  $S$
2. **SUPPORT**( $G, S$ )
3.  $curr \leftarrow \varnothing$ ;  $next \leftarrow \varnothing$ ;
4.  $flag \leftarrow \varnothing$ ;
5.  $todo = nE$ ;  $k\_level = 0$
6. **while**  $todo > 0$  **do**
7.     **CURR\_INIT**( $S, k\_level, curr$ )
8.     **while** ( $curr > 0$ ) **do**
9.          $todo \leftarrow todo - |curr|$
10.     **SUBLEVEL**( $curr, S, k\_level, next, flag$ )
11.      $curr \leftarrow next$
12.      $next \leftarrow \varnothing$
13.  $k\_level++$

Алгоритм 7 подсчета  $k$ -truss сканирует массив поддержки ребер  $S$  и ищет ребра с поддержкой  $k-2$  с помощью функции **CURR\_INIT**. Если такие ребра найдены, то функция **SUBLEVEL** проверяет, образуется ли треугольник из вершин этих ребер, с помощью пересечения списков смежности. Если образуется, то поддержка этих ребер уменьшается на один. Если новое значение поддержки становится равным  $k-2$ , то ребро добавляется в очередь на обработку.

Функции **CURR\_INIT** и **SUBLEVEL** выполняются параллельно несколькими потоками (алгоритм 8), между потоками распределяются вершины.

Алгоритм 8:

**procedure P\_CURR\_INIT(S, k\_level, curr):**

1. Initialize a thread-local array buff of size s
2.  $i \leftarrow 0$
3. **for** (e = 0 to m - 1) **in parallel do**
4.     **if** (S[e] = k) **then**
5.          $\text{buff}[i] \leftarrow e; i \leftarrow i + 1;$
6.          $\text{curr}[e] \leftarrow \text{true}$
7.     **if** (i=s) **then**
8.         Atomically update end of curr
9.         Copy buff to curr
10.         $\text{buff} \leftarrow \varphi; i \leftarrow 0$
11.    **if** (i>0) **then**
12.        Atomically update end of curr
13.        Copy buff to curr
14.         $\text{buff} \leftarrow \varphi; i \leftarrow 0$

**procedure P\_SUBLEVEL(curr, S, k\_level, next, flag):**

1. Initialize a thread-local array buff of size s
2.  $i \leftarrow 0$
3. **for** ( $e_1 \in \text{curr}$ ) **in parallel do**
4.      $(u, v) \leftarrow e_1$
5.     **for** (j = Es[u] to Es[u + 1] - 1) **do**
6.          $w \leftarrow N[j]$
7.          $X[w] \leftarrow j + 1$
8.     **for** (j = Es[v] to Es[v + 1] - 1) **do**
9.          $W \leftarrow N[j]$
10.        **if** ( $X[w] = 0$ ) **then**
11.            **continue**
12.         $e_2 \leftarrow \text{eid}[j]$
13.         $e_3 \leftarrow \text{eid}[X[w] - 1]$
14.        **if** ( $\text{flag}[e_2]$  or  $\text{flag}[e_3]$ ) **then**
15.            **continue**
16.        **if** ( $S[e_2] > 1$ ) **then**
17.            **if** ((( $e_1 < e_3$ ) and  $\text{Curr}[e_3]$ ) or ( $\text{Curr}[e_3] = \text{false}$ )) **then**
18.                 $a \leftarrow \text{atomicSub}(S[e_2], 1)$
19.                **if** ( $a = (l + 1)$ ) **then**
20.                     $\text{buff}[i] \leftarrow e_2; i \leftarrow i + 1$
21.                     $\text{inNext}[e_2] \leftarrow \text{true}$
22.                    **if** (i = s) **then**
23.                        Atomically update end of curr
24.                        Copy buff to curr
25.                         $\text{buff} \leftarrow \varphi; i \leftarrow 0$
26.                **if** ( $a \leq l$ ) **then**
27.                     $\text{atomicAdd}(S[e_2], 1)$
28.     **for** (j = Es[u] to Es[u + 1] - 1) **do**
29.          $w \leftarrow N[j]$
30.          $X[w] \leftarrow 0$
31.     **if** (i>0) **then**
32.         Atomically update end of curr
33.         Copy buff to curr
34.          $\text{buff} \leftarrow \varphi; i \leftarrow 0$

```

35.  for (  $e \in \text{curr}$ ) in parallel do
36.       $\text{flag}[e] \leftarrow \text{true}$ 
37.       $\text{inCurr}[e] \leftarrow \text{false}$ 

```

Стоит обратить внимание на то, что каждый треугольник обрабатывается только один раз, это связано с тем, что треугольники, содержащие общее ребро, обрабатываются, когда алгоритм вычисляет  $k$ -класс. Ребро удаляется после завершения обработки и треугольник больше не существуют в графе. Однако, это приводит к гонке между потоками при обработке треугольника и обновлении поддержки ребер, так как при вычислении  $k$ -класс ребра, имеющие поддержку равную  $k - 2$ , обрабатываются параллельно в SUBLEVEL.

Обработка треугольника  $u-v-w$  параллельно с ребрами  $e1 = (u;v)$ ,  $e2 = (u; w)$  и  $e3 = (v;w)$  происходит по следующему алгоритму (P\_SUBLEVEL). Можно выделить три случая:

1) только одно ребро находится в  $\text{curr}$ . Поток, обрабатывающий его, также может обрабатывать треугольник.

2) все три ребра находятся в  $\text{curr}$ . Поддержка всех ребер равна  $k - 2$ , и треугольник может быть посещен тремя разными потоками. Однако поддержка ребер обновляться не будет, так как ни одно ребро не имеет поддержки больше, чем  $k - 2$ , поэтому любой поток может обрабатывать треугольник.

3) два ребра находятся в  $\text{curr}$ . Чтобы не обрабатывать треугольник дважды, он обрабатывается потоком, который получает идентификатор нижнего края. Таким образом, обрабатывает поток  $T1$ , если  $e1 < e2$ , и обрабатывает поток  $T2$ , если  $e2 < e1$ .

Поскольку все потоки добавляют ребра к массиву  $\text{curr}$ , эта операция должна выполняться атомарно. Чтобы уменьшить количество атомарных операций, каждый поток использует буфер  $\text{buff}$ , и ребра добавляются в  $\text{curr}$  из  $\text{buff}$ , когда  $\text{buff}$  становится полным. Также функция  $\text{CURR\_INIT}$  помечает в массиве  $\text{inCurr}$  ребра, которые добавляются в  $\text{curr}$ . Аналогично, в процедуре SUBLEVEL потоки должны использовать атомарные операции для добавления ребер в массив  $\text{curr}$ . Количество атомарных операций уменьшается за счет назначения  $\text{buff}$  каждому потоку и копирования ребер из  $\text{buff}$  в следующий, когда  $\text{buff}$  заполняется.

Аналогичным образом была реализована буферизация в алгоритме подсчета поддержки для сокращения одновременных добавлений в массив и числа атомарных операций.

## 4. Программная реализация

Реализация выполнена на языке программирования C++, использовалась технология OpenMP. Файловая структура программы:

1. `graphio.h` – заголовочный файл ввода-вывода графовой конструкции
2. `graphio.c` – файл с реализацией функций ввода-вывода
3. `ktruss.h` – заголовочный файл с описанием функций алгоритма Х. Кабир и К. Маддур последовательного разложения k-truss в графе
4. `ktruss.cpp` – файл с реализацией последовательного алгоритма Х. Кабир и К. Маддур разложения k-truss в графе
5. `P-ktruss.h` – заголовочный файл с описанием функций алгоритма Х. Кабир и К. Маддур параллельного разложения k-truss в графе
6. `P-ktruss.cpp` – файл с реализацией параллельного алгоритма Х. Кабир и К. Маддур разложения k-truss в графе
7. `main.c` – общий файл запуска алгоритмов с замерами времени

### 4.1. Структуры данных

Пусть дан граф  $G = (V, E)$ , где  $V$  обозначает множество вершин в графе,  $E$  – множество ребер графа. Обозначим  $n = |V|$  и  $m = |E|$ . Структуры данных, используемые для хранения графа проиллюстрированы на рисунке 5 (Рисунок 8). Граф хранится в формате CRS, дополнительно используются три массива `eid` размером  $2m$  используется для хранения идентификатора ребра, соответствующего каждому соседу вершины; `Support` размера  $m$  используется для хранения поддержки каждого ребра; `edTo` размера  $m$  используется для хранения списка вершин, соответствующих каждому ребру.

Таким образом, предполагая 4-байтовые целые числа, затраты памяти составляют  $(n+2m+2m+m+2m) \times 4 \text{ байта} = 28m+7n \text{ байт}$ .



Рисунок 8. Структуры данных для хранения графа

## 4.2. Модульная структура программы

### Файл *graphio.cpp*

`int init_graph(crsGraph* gr);` // инициализация графа

*Входные параметры:* указатель на структуру графа

*Результат:* собирает “пустой” граф, если удалось, возвращает нуль

`int free_graph_pointers(crsGraph* gr);` // освобождение указателей

*Входные параметры:* указатель на структуру графа

*Результат:* если граф пустой, выдает сообщение и возвращает единицу, иначе освобождает все массивы структуры и возвращает нуль

`int read_mtx_to_crs(crsGraph* gr, const char* filename);` // чтение mtx в списки смежности

*Входные параметры:* указатель на структуру графа, строка с именем файла mtx

*Результат:* собирает граф в структуру crs из файла mtx, если удалось, возвращает нуль

`int read_gr_to_crs(crsGraph* gr, const char* filename);` // чтение графа в списки смежности

*Входные параметры:* указатель на структуру графа, строка с именем файла

*Результат:* собирает граф в структуру crs из файла, если удалось, возвращает нуль

`int write_crs_to_mtx(crsGraph* gr, const char* filename);` // запись графа в mtx

*Входные параметры:* указатель на структуру графа, строка с именем файла mtx

*Результат:* записывает граф crs в файл mtx, если удалось, возвращает нуль

`int read_arr_from_bin(double* arr, int size, const char* filename);` // чтение массива из бинарного файла

*Входные параметры:* указатель на структуру графа, размер файла, имя файла bin

*Результат:* собирает граф в структуру crs из файла bin, если удалось, возвращает нуль

`int write_arr_to_bin(double* arr, int size, const char* filename);` // запись массива в бинарный файл

*Входные параметры:* указатель на структуру графа, размер файла, имя файла bin

*Результат:* записывает граф crs в файл bin, если удалось, возвращает нуль

`int write_arr_to_txt(double* arr, int size, const char* filename);` // запись массива в текстовый файл

*Входные параметры:* указатель на структуру графа, размер файла, имя файла txt

*Результат:* записывает граф crs в файл txt, если удалось, возвращает нуль

### **Файл ktruss.cpp**

**void getId(crsGraph\* gr, int\* eid, Edge\* idEdge);** // инициализация массива идентификаторов ребер, соответствующих каждому соседу вершины, и массива для хранения списка вершин, соответствующих каждому ребру для данного графа

*Входные параметры:* указатель на структуру графа, указатель на массив идентификаторов ребер, указатель на список вершин, соответствующих каждому ребру

*Результат:* записывает в массивы eid, idEdge данные о ребрах графа

**void SupAM(crsGraph\* gr, int\* eid, int\* EdgeSupport);** // подсчет поддержки методом маркировки ребер для данного графа

*Входные параметры:* указатель на структуру графа, указатель на массив идентификаторов ребер, указатель на массив поддержки для каждого ребра

*Результат:* записывает в массивы EdgeSupport поддержку для каждого ребра

**void SupAI(crsGraph\* gr, Edge\* edTo, int\* EdgeSupport);** // подсчет поддержки методом пересечения для данного графа

*Входные параметры:* указатель на структуру графа, указатель на указатель на список вершин, соответствующих каждому ребру, указатель на массив поддержки для каждого ребра

*Результат:* записывает в массивы EdgeSupport поддержку для каждого ребра

**void Curr\_init(long nE, int\* EdgeSupport, int k\_level, int\* curr, long\* Tail);** // сканирования массива EdgeSupport и поиска ребер с поддержкой k\_level - 2.

*Входные параметры:* указатель на массив поддержки для каждого ребра, значение текущего уровня разложения k\_level для r-truss

*Результат:* записывает в массивы curr ребра с поддержкой k\_level - 2.

**void SubLevel(crsGraph\* gr, int\* curr, long Tail, int\* EdgeSupport, int k\_level, int\* next, long\* nextTail, bool\* flag, Edge\* edTo, int\* eid);** // Обработка помеченных ребер из curr и добавление новых ребер к k-truss

*Входные параметры:* указатель на структуру графа, указатель на массив curr ребер с поддержкой k\_level - 2, текущее ребро для обработки, указатель на массив поддержки для каждого ребра, указатель на следующий элемент обработки, указатель на элемент для обработки следующего уровня, указатель на массив маркировки, указатель на идентификаторов ребер, указатель на список вершин, соответствующих каждому ребру.

*Результат:* обрабатывает треугольники и записывает новые ребра в k-truss

**int K\_Truss(crsGraph\* gr, int\* EdgeSupport, Edge\* edTo, int\* eid);** // основная функция разложения k-truss для данного графа

*Входные параметры:* указатель на структуру графа, указатель на массив идентификаторов ребер, указатель на массив поддержки для каждого ребра

*Результат:* записывает в массивы EdgeSupport разложение k-truss графа.



### **P-ktruss**

`void SupP(crsGraph* gr, int* eid, int* EdgeSupport);` // подсчет поддержки методом маркировке ребер для данного графа

*Входные параметры:* указатель на структуру графа, указатель на массив идентификаторов ребер, указатель на массив поддержки для каждого ребра

*Результат:* записывает в массивы EdgeSupport поддержку для каждого ребра

`void PCurr_init(long nE, int* EdgeSupport, int k_level, int* curr, long* Tail, bool* InCurr);` // сканирования массива EdgeSupport и поиска ребер с поддержкой k\_level - 2.

*Входные параметры:* указатель на массив поддержки для каждого ребра, значение текущего уровня разложения k\_level для r-truss

*Результат:* записывает в массивы curr ребра с поддержкой k\_level - 2.

`void PSubLevel(crsGraph* gr, int* curr, bool* InCurr, int Tail, int* EdgeSupport, int k_level, int* next, bool* InNext, int& nextTail, bool* flag, Edge* edTo, int* eid);` // Обработка помеченных ребер из curr и добавление новых ребер к k-truss

*Входные параметры:* указатель на структуру графа, указатель на массив curr ребер с поддержкой k\_level - 2, текущее ребро для обработки, указатель на массив поддержки для каждого ребра, указатель на следующий элемент обработки, указатель на элемент для обработки следующего уровня, указатель на массив маркировки, указатель на идентификаторов ребер, указатель на список вершин, соответствующих каждому ребру.

*Результат:* обрабатывает треугольники и записывает новые ребра в k-truss

`int PK_Truss(crsGraph* gr, int* EdgeSupport, Edge* edTo, int* eid);` // основная функция разложения k-truss для данного графа

*Входные параметры:* указатель на структуру графа, указатель на массив идентификаторов ребер, указатель на массив поддержки для каждого ребра

*Результат:* записывает в массивы EdgeSupport разложение k-truss графа

## 5. Результаты вычислительных экспериментов

### 5.1. Последовательные алгоритмы

Тестирование проводилось на симметричных невзвешенных графах с количеством вершин от 5 300 до 1 000 000 из коллекции SuiteSparse Matrix Collection (<http://sparse.tamu.edu/>) на компьютере со следующими характеристиками: Intel(R) Core(TM) i3-7100U CPU, частота 2.40 GHz, память 16 GB.

Было проведено сравнение времени работы последовательных алгоритмов Х. Кабир и К. Маддури с применением подсчета поддержки пересечением и маркировкой смежности. Результаты представлены далее (таблица 1).

Таблица 1. Сравнение времени работы алгоритма вычисления k-truss с применением подсчета поддержки пересечением и маркировкой смежности.

| № | Название графа         | Число вершин | Число ребер | k_truss min |           | k_truss max |           | Маркировка смежности (секунды) |         | Пересечение смежности (секунды) |         |
|---|------------------------|--------------|-------------|-------------|-----------|-------------|-----------|--------------------------------|---------|---------------------------------|---------|
|   |                        |              |             | K           | Ребра     | k           | Ребра     | поддержка                      | k-truss | поддержка                       | k-truss |
| 1 | HB/bcspwr10            | 5 300        | 8 271       | 2           | 6 526     | 5           | 38        | 0,007                          | 0,0022  | 0,001                           | 0,0024  |
| 2 | HB/bcsstk17            | 10 974       | 208 838     | 3           | 208 838   | 24          | 33 303    | 0,0495                         | 0,1656  | 0,1029                          | 0,2477  |
| 3 | GHS_indef/ncvxbqp1     | 50 000       | 149 984     | 2           | 149 984   | 4           | 9 401     | 0,0107                         | 0,0361  | 0,0114                          | 0,0384  |
| 4 | Rothberg/cfd2          | 123 440      | 1 482 229   | 6           | 1 482 229 | 10          | 13 020    | 0,1257                         | 0,6693  | 0,3887                          | 0,9178  |
| 5 | Wissgott/parabolic_fem | 525 825      | 1 574 400   | 3           | 1 574 400 | 3           | 1 574 400 | 0,0721                         | 0,3622  | 0,1106                          | 0,4051  |
| 6 | McRae/ecology1         | 1 000 000    | 1 998 000   | 2           | 1 998 000 | 2           | 1 998 000 | 0,0614                         | 0,2098  | 0,0944                          | 0,2487  |

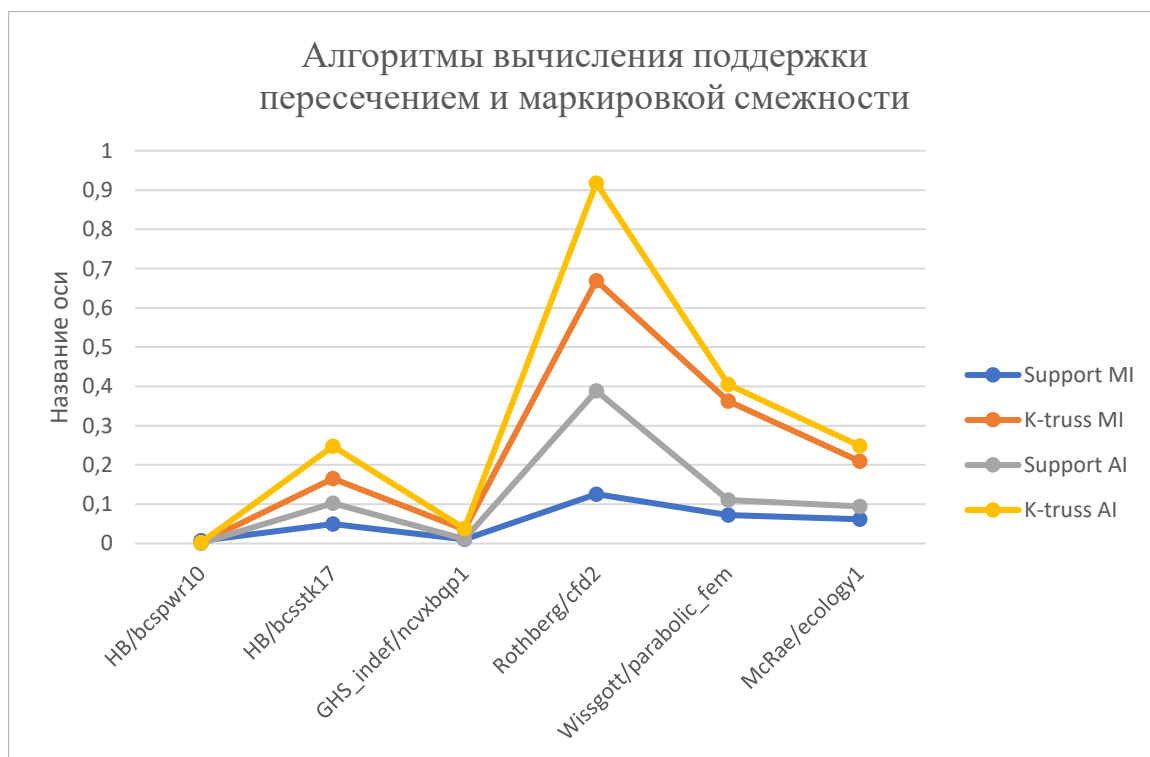


Рисунок 9. Сравнение алгоритмов пересечения и маркировки смежности

Алгоритм разложения k-truss графа с применением подсчета поддержки маркировкой смежности оказался быстрее, чем вариант алгоритма с методом пересечения. Из результатов экспериментов наглядно видно, что подсчет поддержки ускорился значительно, в некоторых случаях более чем вдвое, это же ускорило и сам алгоритм разложения k-truss графа. Для тестирования были подобраны графы с различными характеристиками, разность скоростей вычисления поддержки не зависит от числа вершин, числа ребер и связанности графа. Однако заметно, что скорость самого алгоритма зависит от максимального уровня k-truss разложения и количества ребер на этом уровне.

Далее было проведено тестирование на наборе симметричных невзвешенных графов из коллекции SuiteSparse Matrix Collection с приблизительно равным количеством вершин и разными процентом разреженности матрицы, чтобы оценить зависимость времени работы алгоритма от количества вершин, ребер, уровня разложения k-truss.

Таблица 2. Сравнение времен работы последовательных алгоритмов с применением подсчета поддержки пересечением и маркировкой смежности

| № | Название графа | Число вершин | Число ребер | Разреженность % | k_truss min |       | k_truss max |       | Маркировка смежности (секунды) |                        | Пересечение смежности (секунды) |                       |
|---|----------------|--------------|-------------|-----------------|-------------|-------|-------------|-------|--------------------------------|------------------------|---------------------------------|-----------------------|
|   |                |              |             |                 | k           | Ребра | k           | ребра | поддержка                      | k-truss                | Поддержка                       | k-truss               |
| 1 | HB/can_62      | 62           | 78          | 2,02            | 2           | 72    | 3           | 6     | $0,14 \times 10^{-4}$          | $0,46 \times 10^{-4}$  | $0,33 \times 10^{-4}$           | $0,44 \times 10^{-4}$ |
| 2 | HB/lap_25      | 25           | 72          | 11,52           | 4           | 72    | 4           | 72    | $0,09 \times 10^{-4}$          | $0,28 \times 10^{-4}$  | $0,17 \times 10^{-4}$           | $0,41 \times 10^{-4}$ |
| 3 | FIDAP/ex5      | 27           | 126         | 17,28           | 6           | 126   | 9           | 102   | $0,18 \times 10^{-4}$          | $0,68 \times 10^{-4}$  | $0,4 \times 10^{-4}$            | $0,85 \times 10^{-4}$ |
| 4 | Pajek/Journals | 124          | 5 972       | 38,83           | 16          | 5 972 | 70          | 2 903 | $0,45 \times 10^{-2}$          | $1,87 \times 10^{-2}$  | $0,96 \times 10^{-2}$           | $2,35 \times 10^{-2}$ |
| 5 | HB/bcsstk02    | 66           | 2 145       | 49,24           | 66          | 2 145 | 66          | 2 145 | $0,69 \times 10^{-2}$          | $4,503 \times 10^{-2}$ | $0,99 \times 10^{-2}$           | $5,04 \times 10^{-2}$ |

Из результатов экспериментов, представленных выше (таблица 2), видно, что при примерно одинаковом количестве вершин на время работы алгоритма сильно влияет разреженность матрицы. С увеличением числа ребер в графе время обработки так же увеличивается. Так же явно видна зависимость между k-уровнем обработки и количеством ребер на этом уровне, с длительностью разложения k-truss в графе. Это объясняется подходом к вычислению k-truss восходящим способом.

Также была собрана и протестирована параллельная реализация k-truss из библиотеки NetworkX (<http://networkx.org>), проведено сравнение времени работы двух алгоритмов. Данные тестирования представлены далее (таблица 3).

Таблица 3. Сравнение времени работы алгоритма с применением подсчета маркировкой смежности разложения k-truss (PKT) с аналогичным алгоритмом из библиотеки NetworkX

| № | Название графа         | Число вершин | Число ребер | k_tuss min |           | k_tuss max |           | PKT (секунды) | NetworkX (секунды) |
|---|------------------------|--------------|-------------|------------|-----------|------------|-----------|---------------|--------------------|
|   |                        |              |             | K          | ребра     | k          | Ребра     |               |                    |
| 1 | HB/bcspwr10            | 5 300        | 8 271       | 2          | 6 526     | 5          | 38        | 0.0022        | 0.1358             |
| 2 | HB/bcsstk17            | 10 974       | 208 838     | 3          | 208 838   | 24         | 33 303    | 0.1656        | 141.1181           |
| 3 | GHS_indef/ncvxbqp1     | 50 000       | 149 984     | 2          | 149 984   | 4          | 9 401     | 0.0361        | 5.89               |
| 4 | Rothberg/cfd2          | 123 440      | 1 482 229   | 6          | 1 482 229 | 10         | 13 020    | 0.6693        | 152.48             |
| 5 | Wissgott/parabolic_fem | 525 825      | 1 574 400   | 3          | 1 574 400 | 3          | 1 574 400 | 0.3622        | 1499.27            |

При тестировании найденные наборы вершины алгоритмом Х. Кабир и К. Маддури для всех уровней разложений k-truss совпали с множеством вершин, найденным алгоритмом **NetworkX**. Результаты одинаковые. Алгоритм Х. Кабир и К. Маддури работает существенно быстрее.

## 5.2. Параллельные алгоритмы

В тестировании были использованы симметричные невзвешенные графы с количеством вершин от 100 196 до 4 847 571 из коллекции SuiteSparse Matrix Collection (<http://sparse.tamu.edu/>), представленные далее.

Таблица 4. Характеристики тестовых графов для параллельной версии

| № | Название графа          | Число вершин | Число ребер | Разреженность % | k max | Max degree | Max k-core | Lower bound of Maximum Clique | Number of triangles |
|---|-------------------------|--------------|-------------|-----------------|-------|------------|------------|-------------------------------|---------------------|
| 1 | GHS_psdef /ford2        | 100 196      | 222 246     | 0,221%          | 27    | 29         | 27         | 27                            | 210,3K              |
| 2 | TSOPF/TSOPF_F S_b39_c30 | 120 216      | 1 545 520   | 1,069%          | 21    | 60K        | 30         | 21                            | 1,3M                |
| 3 | DNVS/shipsec8           | 114 919      | 3 269 240   | 2,476%          | 30    | 131        | 48         | 24                            | 2,4K                |
| 4 | PARSEC/Ga10As 10H30     | 113 081      | 3 001 276   | 2,347%          | 390   | 697        | 390        | 390                           | 121,7K              |
| 5 | as-skitter              | 1 696 415    | 11 095 298  | 0,039%          | 68    | 35,5K      | 112        | 48                            | 564,4K              |
| 6 | in-2004                 | 1 382 908    | 8 269 821   | 0,043%          | 4 253 | 21,9K      | 947        | 465                           | 1,9M                |
| 7 | soc-LiveJournal1        | 4 847 571    | 222 246     | 0,221%          | 3 533 | 22,9K      | -          | -                             | -                   |

Тестирование проводилось на узле кластера «Лобачевский» с со следующими характеристиками: процессор 2x AMD EPYC 7742 (64 ядра), память 512.00 GB DDR4, частота 3200.00 MGHZ. Параллельные алгоритмы запускались в 1, 2, 4, 8, 16 потоков. Были получены следующие результаты (Таблица 5, Таблица 6):

Таблица 5. Сравнение времени работы параллельного алгоритма подсчета поддержки на узле кластера при разном количестве потоков. Время указано в секундах. Расписание параллельных секций - static

| Число потоков | GHS_psdef /ford2 | TSOPF/TSOP F_FS_b39_c30 | DNVS/ shipsec8 | PARSEC /Ga10As10H30 | as-skitter | in-2004 | soc-LiveJournal1 |
|---------------|------------------|-------------------------|----------------|---------------------|------------|---------|------------------|
| 1             | 0,0049           | 18,31                   | 0,171          | 0,516               | 16,9       | 0,62    | 8,021            |
| 2             | 0,0088           | 13,75                   | 0,155          | 0,329               | 16,67      | 0,442   | 8,571            |
| 4             | 0,0055           | 13,71                   | 0,052          | 0,223               | 15,57      | 0,329   | 6,724            |
| 8             | 0,0047           | 7,972                   | 0,032          | 0,147               | 11,88      | 0,255   | 4,606            |
| 16            | 0,0047           | 4,377                   | 0,023          | 0,087               | 9,179      | 0,282   | 2,882            |

Таблица 6. Сравнение времени работы параллельного алгоритма подсчета k-truss на узле кластера при разном количестве потоков. Время указано в секундах. Расписание параллельных секций - static

| Число потоков | GHS_psdef /ford2 | TSOPF/TSOP F_FS_b39_c30 | DNVS/ shipsec8 | PARSEC /Ga10As10H30 | as-skitter | in-2004 | soc-LiveJournal1 |
|---------------|------------------|-------------------------|----------------|---------------------|------------|---------|------------------|
| 1             | 0,0169           | 46,03                   | 2,378          | 8,716               | 68,03      | 34,74   | 118,601          |
| 2             | 0,0234           | 24,48                   | 1,010          | 2,106               | 55,58      | 28,42   | 87,62            |
| 4             | 0,0134           | 12,04                   | 0,661          | 1,122               | 27,49      | 18,77   | 47,81            |
| 8             | 0,0092           | 6,208                   | 0,423          | 0,604               | 20,11      | 15,52   | 28,48            |
| 16            | 0,0051           | 4,077                   | 0,2805         | 0,459               | 11,63      | 10,88   | 22,98            |

Если рассматривать зависимость времени работы алгоритма от числа потоков, задействованных программой, то получим, что на маленьких графах мы наблюдаем относительно небольшой рост ускорения при подсчете и поддержки, и k-truss с увеличением числа потоков, в то

время как на сравнительно больших графах – рост ускорения с ростом числа запущенных в работу потоков. Наглядно зависимость отражена следующими диаграммами (Рисунок 11, Рисунок 12).

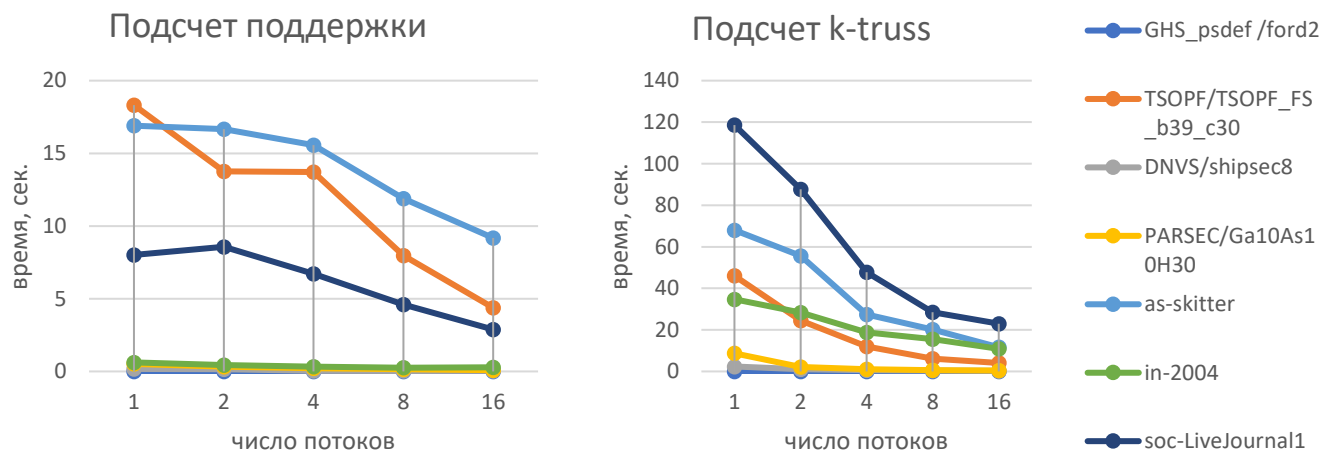


Рисунок 10. Сравнение времени работы алгоритмов РКТ при разном количестве потоков. Время указано в секундах. Расписание параллельных секций - static

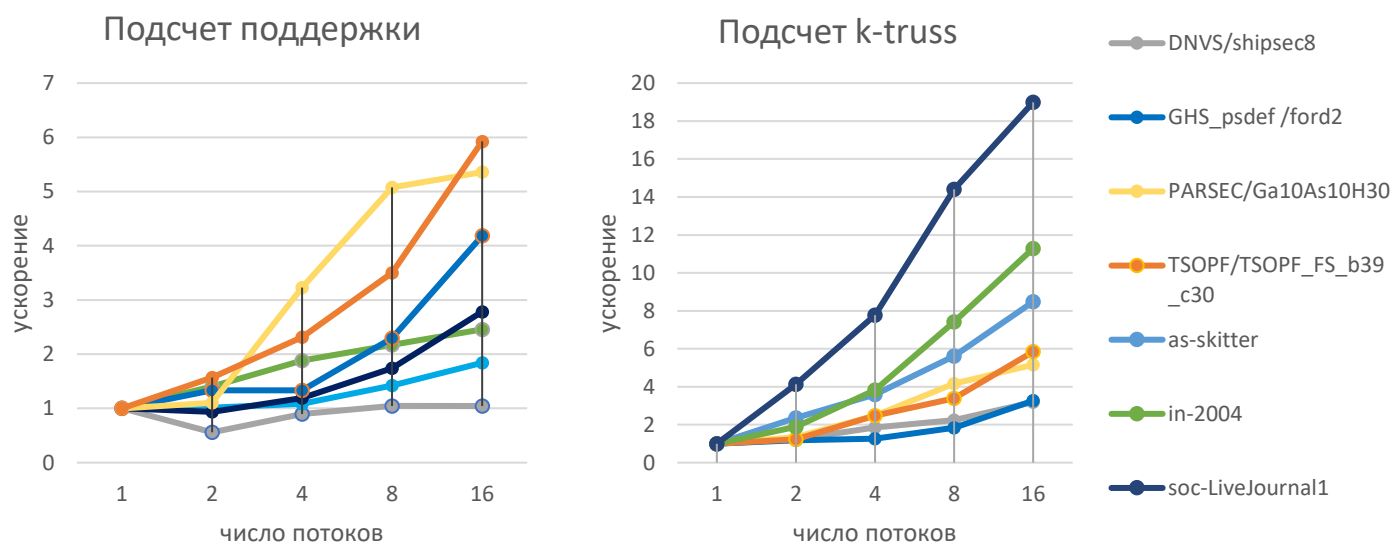


Рисунок 11. Сравнение масштабируемости алгоритмов РКТ. Расписание параллельных секций - static

Параллельный цикл в OpenMP позволяет задать опцию `schedule`, изменяющую способ распределения итераций между потоками. Поддерживаются следующие опции планирования:

- `schedule(static)` — статическое планирование. При использовании такой опции итерации цикла будут поровну (приблизительно) поделены между потоками.
- `schedule(static, K)` — блочно-циклическое распределение итераций. Каждый поток получает заданное число  $K$  итераций в начале цикла, затем (если остались итерации) процедура распределения продолжается. Планирование выполняется один раз.
- `schedule(dynamic)`, `schedule(dynamic, K)` — динамическое планирование. Каждый поток получает заданное число итераций  $K$ , выполняет их и запрашивает новую порцию. В отличие от статического планирования, во время выполнения программы распределение итераций выполняется многократно. Конкретное распределение итераций между потоками зависит от темпов работы потоков и трудоемкости итераций.

При удачном выборе параметров планирования параллельных секций в openMP время использования CPU может значительно увеличиться, благодаря правильному распределению нагрузки между потоками, что позволяет эффективно использовать ресурсы процессора и ускорить выполнение алгоритма. Однако, неудачный выбор параметров планирования может снизить производительность. Например, неправильный выбор типа планирования задач или размера блоков может привести к тому, что некоторые потоки будут простаивать, а другие будут перегружены работой. Также стоит учитывать, что время использования CPU зависит от сложности алгоритма и количества данных, которые нужно обработать. Поэтому необходимо уделить достаточно внимания настройке параметров и выбору оптимального режима работы для конкретной задачи.

Было проведено тестирование различных типов расписания для параллельных секций на наборе симметричных невзвешенных графов из SuiteSparse Matrix Collection (Таблица 4).

Таблица 7. Сравнение времени работы параллельного алгоритма PKT на узле кластера при разных параметрах планирования на графе TSOPF/TSOPF\_FS\_b39\_c30.

Время указано в секундах

|                |           | число потоков |       |       |      |      |         | число потоков |       |       |      |      |
|----------------|-----------|---------------|-------|-------|------|------|---------|---------------|-------|-------|------|------|
|                |           | 1             | 2     | 4     | 8    | 16   |         | 1             | 2     | 4     | 8    | 16   |
| <b>static</b>  | Поддержка |               |       |       |      |      | k-truss |               |       |       |      |      |
| без chunk      |           | 18,32         | 13,76 | 13,72 | 7,97 | 4,38 |         | 46,03         | 24,49 | 12,05 | 6,21 | 4,08 |
| chunk=10       |           | 18,26         | 9,22  | 4,66  | 2,40 | 1,32 |         | 46,30         | 23,66 | 12,00 | 6,34 | 3,88 |
| chunk=16       |           | 18,28         | 9,22  | 4,58  | 2,39 | 1,93 |         | 46,04         | 23,48 | 11,86 | 6,20 | 3,50 |
| chunk=32       |           | 18,30         | 9,39  | 4,78  | 2,69 | 1,43 |         | 46,08         | 23,67 | 12,19 | 6,45 | 3,66 |
| chunk=100      |           | 18,51         | 9,21  | 4,82  | 2,49 | 1,33 |         | 47,37         | 23,54 | 11,95 | 6,46 | 3,35 |
| chunk=200      |           | 18,49         | 9,23  | 4,81  | 2,50 | 1,71 |         | 46,83         | 23,22 | 12,02 | 6,26 | 3,30 |
| <b>dynamic</b> |           |               |       |       |      |      |         |               |       |       |      |      |
| без chunk      |           | 18,28         | 13,82 | 17,39 | 6,79 | 3,28 |         | 46,05         | 23,46 | 12,10 | 6,78 | 3,52 |
| chunk=4        |           | 18,26         | 13,80 | 11,54 | 7,77 | 4,08 |         | 46,02         | 23,25 | 11,65 | 6,21 | 3,38 |
| chunk=10       |           | 18,28         | 13,85 | 12,18 | 9,54 | 4,32 |         | 46,07         | 23,25 | 11,78 | 6,06 | 3,59 |
| chunk=16       |           | 18,28         | 13,90 | 11,64 | 8,73 | 5,34 |         | 46,05         | 23,25 | 11,89 | 6,18 | 3,38 |
| chunk=32       |           | 18,26         | 13,94 | 16,37 | 9,03 | 5,43 |         | 46,05         | 23,11 | 11,89 | 6,18 | 3,44 |

Из результатов экспериментов, представленных выше, видно, что максимальное ускорение в алгоритме подсчёта поддержки достигается при использовании статистического расписания с блоком маленького размера, в алгоритме подсчёта k-truss для достижения минимального времени работы следует использовать динамическое расписание.

Статический тип планирования в openMP рекомендуется использовать в тех случаях, когда размеры задач равномерны, так же стоит учесть, что динамический тип планирования имеет более высокие накладные расходы, чем статический, поскольку он динамически распределяет итерации во время выполнения, однако динамическое расписание полезно, когда потоки получают различные вычислительные ресурсы, что оказывает существенное воздействие на разные объёмы работы для каждой итерации.

Аналогичное поведения прослеживается и при тестировании остальных матриц, как и при подсчёте поддержки, так и при подсчёте k-truss, что наглядно видно из Таблицы 8 и Таблицы 9.

Таблица 8. Сравнение времени работы параллельного алгоритма подсчета поддержки на узле кластера при разных параметрах планирования с различным количеством потоков

|               | as-skitter |       |       |       |      |  | soc-LiveJournal1 |      |      |      |      |
|---------------|------------|-------|-------|-------|------|--|------------------|------|------|------|------|
| число потоков | 1          | 2     | 4     | 8     | 16   |  | 1                | 2    | 4    | 8    | 16   |
| без chunk     | 16,90      | 16,68 | 15,57 | 11,89 | 9,18 |  | 8,02             | 8,57 | 6,72 | 4,61 | 2,88 |
| chunk=10      | 17,28      | 8,96  | 4,51  | 2,39  | 2,13 |  | 10,11            | 5,44 | 3,16 | 1,83 | 1,49 |
| chunk=16      | 16,97      | 8,72  | 4,53  | 2,38  | 1,32 |  | 7,24             | 4,93 | 2,77 | 1,63 | 1,41 |
| chunk=32      | 16,88      | 8,70  | 4,45  | 2,39  | 1,89 |  | 8,14             | 4,55 | 2,71 | 1,81 | 1,58 |
| chunk=100     | 18,68      | 8,89  | 4,49  | 2,44  | 1,56 |  | 10,32            | 5,16 | 2,85 | 1,71 | 1,47 |

Таблица 9. Сравнение времени работы параллельного алгоритма подсчета k-truss на узле кластера при разных параметрах планирования с различным количеством потоков

|               | as-skitter |       |       |       |      |  | soc-LiveJournal1 |        |       |       |       |
|---------------|------------|-------|-------|-------|------|--|------------------|--------|-------|-------|-------|
| число потоков | 1          | 2     | 4     | 8     | 16   |  | 1                | 2      | 4     | 8     | 16    |
| без chunk     | 67,68      | 36,00 | 18,28 | 9,53  | 5,33 |  | 118,60           | 87,62  | 47,82 | 28,49 | 22,99 |
| chunk=10      | 67,73      | 35,83 | 18,34 | 9,47  | 5,36 |  | 118,12           | 71,49  | 58,79 | 37,98 | 12,82 |
| chunk=16      | 69,44      | 35,53 | 18,02 | 9,68  | 5,54 |  | 118,15           | 103,35 | 63,94 | 16,79 | 38,61 |
| chunk=32      | 70,53      | 36,21 | 18,92 | 10,47 | 6,40 |  | 150,79           | 90,49  | 63,94 | 37,05 | 29,12 |
| chunk=100     | 67,68      | 36,00 | 18,28 | 9,53  | 5,33 |  | 121,58           | 85,84  | 54,03 | 37,67 | 25,10 |

При правильном подборе параметров расписания параллельного блока ускорение алгоритма значительно, при подсчете поддержки ускорение составляет в 3-6 раз, и при подсчете k-truss в 2, то наглядно видно из Рисунка 12.

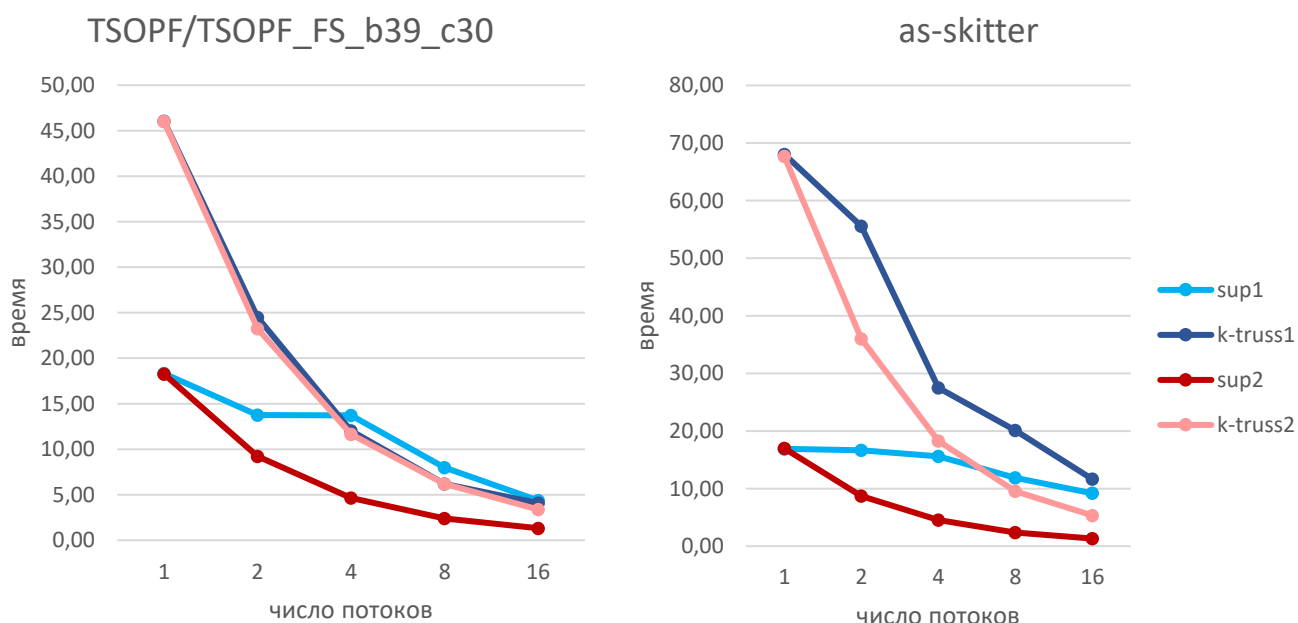


Рисунок 12. Сравнение алгоритмов РКТ с оптимальными параметрами планирования параллельных секций



Таблица 10. Сравнение процессорного времени для функций алгоритма разложения k-truss (PKT) при оптимальных параметрах планирования параллельных секций

| Function              | CPU (1)<br>Time | CPU (2)<br>Time |  | % of CPU<br>(1) Time | % of CPU<br>(2) Time |
|-----------------------|-----------------|-----------------|--|----------------------|----------------------|
| PSubLevel             | 443,667         | 449,383         |  | 77,80%               | 69,40%               |
| SupP                  | 99,583          | 170,691         |  | 17,50%               | 26,30%               |
| _stdio_common_vfscanf | 17,088          | 16,505          |  | 3,00%                | 2,50%                |
| Malloc                | 4,987           | 5,412           |  | 0,90%                | 0,80%                |
| free_dbg              | 2,866           | 3,156           |  | 0,50%                | 0,50%                |
| [Others]              | 2,371           | 2,64            |  | 0,40%                | 0,40%                |

В Таблице 9 представлены результаты работы профилировщика производительности Intel VTune Profiler. Видно, что при грамотном выборе расписания для параллельных секций лучше распределяется процессорное время, что и является причиной ускорения работы алгоритма.

## Заключение

В работе были рассмотрены и реализованы последовательные алгоритмы Х. Кабир и К. Маддури разложения k-truss графа. Были получены результаты вычислительных экспериментов произведено сравнение времени работы полученных реализаций.

Было рассмотрено два типа последовательных алгоритмов, основанных на применении подсчета поддержки пересечением и маркировкой смежности. Производительность первого алгоритма оказалось ниже, чем второго так как алгоритм подсчета треугольников рассматривает вершины в порядке уменьшения степени на основе степени и сортировку ребер в порядке возрастания их поддержки. С увеличением порядка вершин используемое представление дает малое число операций. По результатам сравнения с библиотекой NetworkX видно, что производительность представленного алгоритма Х. Кабир и К. Маддури сопоставима с библиотечной реализацией. Полученные результаты соответствуют ожидаемым.

Выполнено распараллеливание алгоритма Х. Кабир и К. Маддури разложения k-truss графа для систем с общей памятью с применением технологии OpenMP. Проведены вычислительные эксперименты с графами большего размера на узле кластера «Лобачевский», произведено сравнение времени работы полученных последовательных и параллельных реализаций, найдены в ходе экспериментов оптимальные параметры для расписания параллельных секций кода.

## Литература

1. Kabir H. Madduri K. Parallel k-truss decomposition on multicore systems // 2017 IEEE High Performance Extreme Computing Conference (HPEC). – IEEE 2017. – С. 1-7. November 2017; d 10.1109/HPEC.2017.8091052
2. Kabir H. Madduri K. Shared-memory graph truss decomposition // 2017 IEEE 24th International Conference on High Performance Computing (HiPC). – IEEE 2017. – С. 13-22; d 10.1109/HiPC.2017.00012
3. Smith S. et al. Truss decomposition on shared-memory parallel systems // 2017 IEEE high performance extreme computing conference (HPEC). – IEEE 2017. – С. 1-6; d 10.1109/HPEC.2017.8091049
4. Wang J. Cheng J. Truss decomposition in massive networks //arXiv preprint arX1205.6693. – 2012.
5. Cohen J. Truss Cohesive subgraphs for social network analysis //National security agency technical report. – 2008. – Т. 16. – №. 3.1.